

ВХОДНОЕ СОПРОТИВЛЕНИЕ РЕЗОНАТОРНО-ЩЕЛЕВОЙ АНТЕННЫ

Одним из наиболее распространенных типов бортовых антенн летательных аппаратов являются резонаторно-щелевые антенны (РЩА). Эти антенны зачастую используются в навигационных и связанных системах метровых и дециметровых диапазонов волн. Возможность применения РЩА в той или иной радиотехнической системе в значительной мере определяется частотной характеристикой (ЧХ) их полного входного сопротивления, т. е. зависимостью $z_{вх} = z_a(f)$. Разработан ряд методов расчета значения $z_{вх}$ для РЩА нескольких конструкций. Достаточно полно и строго задача решена для РЩА, возбуждаемых в плоскости щели коаксиальной или полосковой линией передачи [1].

При рассмотрении РЩА, возбуждаемых в полости резонатора, используется только метод эквивалентных схем [2]. Этот метод — приближенный, и опирающиеся на него алгоритмы анализа имеют ограниченные возможности решения задачи оптимизации геометрии возбудителя по заданной ЧХ входного сопротивления РЩА.

В связи с этим представляет интерес разработка более строгих методов расчета зависимости ЧХ $z_{вх}$ для РЩА, возбуждаемых в полости резонатора.

Рассмотрим базирующуюся на электродинамическом подходе методику расчета РЩА с прямоугольным резонатором и возбудителем в виде штыря, который представляет собой продолжение центрального провода питающей коаксиальной линии передачи. Геометрия РЩА представлена на рис. 1. Здесь 1 — резонатор, выполненный на основе прямоугольного волновода с размерами стенок $a \times b$; 2 — экран; 3 — закорачивающая задняя стенка резонатора, расположенная

на расстоянии L от плоскости апертуры, 4 — штыревой возбудитель длиной h и диаметром $2d$, который является продолжением центрального провода питающей антенну коаксиальной линии передачи 5 с диаметром внешнего провода $2D$. Расстояние от центра штыря до одной из стенок резонатора равно x_0 , а до закорачивающей стенки l_0 .

Задачу о нахождении полного входного сопротивления РЩА можно решить следующим образом: методом интегральных уравнений с использованием тензорной функции Грина для прямоугольного резонатора с последующим численным решением этих уравнений; используя результаты работ по возбуждению бесконечного согласованного волновода.

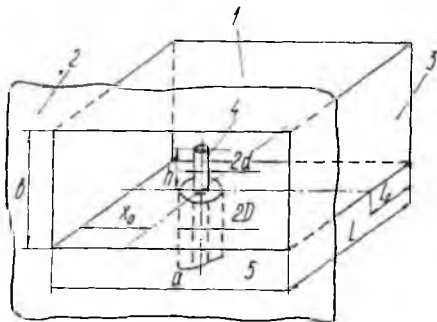


Рис. 1

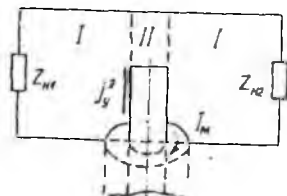


Рис. 2

В литературе рассматривалась задача о возбуждении согласованного волновода штырем, который представляет собой продолжение центрального провода коаксиальной линии передачи. Авторами работ [3; 4] получено выражение для входной проводимости со стороны коаксиальной линии в случае, когда штырь полностью или частично перекрывает волновод. В работе [5] рассматривался волновод, нагруженный на произвольные комплексные нагрузки, при возбуждении штырем, полностью перекрывающим волновод.

Первый способ — более общий. Он дает возможность варьировать геометрией штыря в процессе расчетов и строго учитывать наличие излучающей апертуры. Однако необходимость в использовании численных методов решения системы интегральных уравнений значительно усложняет расчеты. Поэтому решение вопроса об оптимизации РЩА в этом случае затруднительно ввиду ограниченного быстродействия и объема оперативной памяти современных ЭВМ.

Второй способ имеет ограниченные возможности по изменению геометрии штыря. Он позволяет варьировать длиной при расчете, диаметром и местоположением штыря в РЩА, но не его конфигурацией, и наличие апертуры учитывается приближенными методами. Однако относительная простота расчетных формул в этом случае позволяет выполнять на ЭВМ за приемлемое время многократные расчеты и оценки, открывая путь к оптимизации размеров резонатора, излучающей апертуры, возбуждающего штыря и его местоположения по заданной

ЧХ входного сопротивления РЩА. В данной работе задача по определению входного сопротивления РЩА решается вторым способом.

В дальнейшем удобно РЩА представить следующим образом (рис. 2). В сечении прямоугольного волновода при $z = 0$ расположен возбуждающий штырь. С обоих концов ($z < 0$ и $z > 0$) к волноводу подключены в общем случае произвольные комплексные нагрузки, характеризующие их сопротивлениями $z_{н1}$, $z_{н2}$. Для резонаторно-щелевой антенны при $z < 0$ надо положить $z_{н1} = 0$ (волновод закорочен), а при $z > 0$ $z_{н2} = z_a$ (волновод нагружен на комплексное сопротивление апертуры z_a). Задача решается методом частичных областей (рис. 2, области I, II) при зависимости от времени типа $e^{-i\omega t}$ и следующих основных допущениях: проводимость всех металлических поверхностей бесконечна; возбуждающее поле кольцевой щели формируется только волной типа T ; ток на штыре имеет аксиальную симметрию; диаметр штыря мал по сравнению с длиной волны; штырь полый и стенки его бесконечно тонкие. Допущение о том, что возбуждающий штырь полый, является существенным при решении задачи методом частичных областей. При этом можно предположить, что входные проводимости полого и сплошного штырей практически одинаковы. Это подтверждается экспериментальными данными, приведенными далее.

Известно, что входная проводимость $Y_{вх}$ вибратора, питаемого коаксиальной линией передачи, есть отношение кольцевого магнитного тока I_m (рис. 2) к напряжению на кольцевой щели U [3]. В свою очередь, ток I_m можно выразить через напряженность магнитного поля H_ϕ в окрестности вибратора (центрального провода коаксиальной линии). Для случая азимутальной симметрии имеем

$$Y_{вх} = \frac{2\pi}{U \ln(D/d)} \int_0^D H_\phi(r, y) dr, \quad y = 0, \quad (1)$$

где r , ϕ , y — параметры цилиндрической системы координат, у которой ось y совмещена с продольной осью штыря. Записав уравнения Максвелла для I области, выразим H_ϕ^I через составляющую поля E_y^I :

$$\left(\frac{\partial^2}{\partial y^2} + k^2\right) H_\phi^I = i\omega\epsilon_0 \{[\text{grad}_\perp E_y^I, \vec{e}_y]_\phi + \vec{j}_\phi^m\}. \quad (2)$$

Здесь \vec{j}_ϕ^m — азимутальная составляющая плотности кольцевого магнитного тока, эквивалентного возбуждающей щели; $k = \omega/c$ — волновое число; ω — круговая частота; c — скорость света; ϵ_0 — диэлектрическая проницаемость воздуха; \vec{e}_y — единичный орт в направлении оси y .

Представим составляющие полей H_ϕ^I , E_y^I , плотности тока \vec{j}_ϕ^m в виде рядов Фурье

$$E_y(r, y) = \sum_{n=0}^{\infty} \frac{2 - \delta_n}{b} \mathcal{O}_{yn}(r) \cos \frac{\pi n}{b} y \quad (3); \quad H_\phi(r, y) =$$

$$= \sum_{n=0}^{\infty} \frac{2 - \delta_n}{b} \mathcal{H}_{yn}(r) \cos \frac{\pi n}{b} y \quad (4); \quad i_n^m = i_{\varphi 0}^m \sum_{n=0}^{\infty} \frac{2 - \delta_n}{2b} \cos \frac{\pi n}{b} y \quad (5),$$

где $i_{\varphi 0}^m = \frac{-2U}{r \ln(D/d)}$; δ_n — символ Кронекера, $\delta_0 = 1$, $\delta_{n \neq 0} = 0$.

Теперь можно из (2) получить следующее выражение для H_{φ}^I :

$$H_{\varphi}^I(r, y) = -i \frac{k}{z_0} \sum_{n=0}^{\infty} \frac{2 - \delta_n}{b \gamma_n^2} \left[\frac{\partial}{\partial r} \mathcal{J}'_{yn}(r) + \frac{1}{2} i_{\varphi 0}^m \right] \times \\ \times \cos \frac{\pi n}{b} y, \quad (6)$$

а интеграл в правой части (1) записать в виде

$$\int_d^D H_{\varphi}^I(r, 0) = -i \frac{k}{z_0} \sum_{n=0}^{\infty} \frac{2 - \delta_n}{b \gamma_n^2} \left\{ \left[\mathcal{J}'_{yn}(D) - \mathcal{J}'_{yn}(d) \right] + \right. \\ \left. + \int_d^D \frac{1}{2} i_{\varphi 0}^m(r) dr \right\}, \quad (7)$$

где z_0 — характеристическое сопротивление свободного пространства, равное 120π ; $\gamma_n = k \sqrt{1 - (\pi n/kb)^2}$.

Из (1), (7) следует, что для определения $Y_{вх}$ достаточно знать составляющую E_y полного электрического поля в окрестности штыря, которую можно выразить через электрический и магнитный векторные потенциалы, определяемые через неизвестную плотность электрического тока на штыре и плотность магнитного кольцевого тока. Из (6) для плотности электрического тока на штыре получим следующее выражение:

$$i_y^{\circ}(y) = - \int_0^b E_y(d, y') i_{ex}^{\circ}(y, y') dy' + i_y^{\#}(y). \quad (8)$$

Здесь $i_{ex}^{\circ}(y, y')$ — плотность тока на штыре, полностью перекрывающем произвольно нагруженный волновод в отличие от согласованного волновода в [3]. Возбуждение штыря производится δ -источником напряжения, помещенным в точку $y = y'$ и $r = d$ (рис. 2, область I); $i_y^{\#}(y)$ — плотность тока на штыре, полностью перекрывающем произвольно нагруженный волновод, возбуждаемый коаксиальной линией передачи; $E_y(d, y')$ — неизвестное поле, которое на поверхности штыря ($r = d$) равно нулю при $0 \leq y' \leq h$ и отлично от нуля в зазоре, т. е. при $h < y' \leq b$. Это поле удовлетворяет неоднородному интегральному уравнению первого рода [4]:

$$i_y^{\#}(y) = \int_0^b E_y(d, y') [i_{ex}^{\circ}(y, y') + i_{in}^{\circ}(y, y')] dy' \quad (9)$$

для $h \leq y' \leq b$, $h \leq y \leq b$. Величина $j_{in}'(y, y')$ есть плотность тока на внутренней поверхности штыря при возбуждении в точке $y = y'$ и $r = d - 0$ (область II). Рассмотрим схему нахождения $Y_{вх}$.

1. Для области I находится плотность тока $j_y^{\text{эл}}(y)$. Для этого ищется напряженность электрического поля в волноводе с произвольными нагрузками, создаваемая двумя источниками — плотностью электрического тока на штыре и плотностью магнитного кольцевого тока

$$E_y = \frac{1}{i\omega\epsilon_0} (\text{grad div} + k^2) A_y^{\text{э}} - \text{rot } A_y^{\text{м}}. \quad (10)$$

Здесь $A_y^{\text{э}}$, $A_y^{\text{м}}$ — составляющие электрического и магнитного векторных потенциалов в волноводе с произвольными нагрузками, определяемые неизвестной плотностью тока $j_y^{\text{эл}}$ и заданной плотностью кольцевого магнитного тока $j_{\phi}^{\text{м}}$. Затем, удовлетворяя граничным условиям для E_y на поверхности штыря, найдем $j_y^{\text{эл}}$.

2. Плотность тока j_{ex}^{δ} определяется аналогичным образом.

Отличие заключается в том, что полное поле E_y создается неизвестной плотностью тока j_{ex}^{δ} и δ -источником напряжения, включенным в расщелку штыря: $E_y(d+0, y) = -\delta(y-y')$ (11).

3. Для области II определяется плотность тока j_{in}^{δ} по формуле (3) из работы [4], а наличие δ -источника учитывается как $E_y(d-0, y) = -\delta(y-y')$ (12).

4. Определяется $E_y(d, y')$ из решения интегрального уравнения (3) по схеме, изложенной в работе [4]. Неизвестное поле в зазоре представляется в виде ряда по полиномам Чебышева первого рода, а затем интегральное уравнение сводится к бесконечной системе линейных алгебраических уравнений. Определив плотность электрического тока на штыре с зазором по (8), а затем применив к E_y преобразование Фурье, найдем из (7), (1) входную проводимость РЩА.

Описанная процедура нахождения $Y_{вх}$ в общих чертах сходна с процедурой, изложенной в работах [3; 4]. Отличие наших результатов от результатов указанных работ связано с тем, что в этих работах рассматривался случай бесконечного согласованного волновода. Нам рассматривается случай бесконечного согласованного волновода. Нам рассматривается случай, характерный для излучающих структур, в данном случае РЩА: с одной стороны волновод закорочен, а с другой — нагружен на апертуру.

После проведения всех необходимых вычислений для $Y_{вх}$ получаем

$$Y_{вх} = -i \frac{2\pi k}{z_0 b \ln(D/d)} \sum_{n=0}^{\infty} \frac{2 - \delta_n}{\gamma_n^2} (E_n - 1). \quad (13)$$

Здесь

$$E_n = -i \frac{\pi}{2} J_0(\gamma_n d) S_n(d) \left\{ T_n \frac{\pi \gamma_n d S_{1n}(d)}{2 S_n(d)} \sum_{q=0}^{\infty} (-1)^{n+q} \times \right.$$

$$\times a_0 J_{2a} \left(\frac{\pi n}{b} g \right) + \frac{1}{\ln(D/d)} \left\{ \frac{S_n(D)}{S_n(d)} \left[T_n \frac{S_n(D)}{S_n(d)} - \frac{J_0(\gamma_n D)}{J_0(\gamma_n d)} \right] + (T_n - 1) \left[1 - 2 \frac{S_n(D)}{S_n(d)} \right] \right\}. \quad (14)$$

Обозначения, входящие в (14), описываются следующими выражениями:

$$T_n = \frac{1}{\pi} \sum_{n=0}^{\infty} \left[\frac{\sin \pi (m+n) h/b}{m+n} + \frac{\sin \pi (m-n) h/b}{m-n} \right];$$

$$S_n(r) = H_0^{(2)}(\gamma_n r) + J_0(\gamma_n r) \Phi_n;$$

$$S_{1n}(r) = -H_1^{(2)}(\gamma_n r) - J_1(\gamma_n r) \Phi_n;$$

$$\Phi_n = \sum_{\substack{s=-\infty \\ s \neq 0}}^{\infty} (-1)^s H_0^{(2)}(\gamma_n l_s) + \frac{4}{a} \sum_{\substack{t=-\infty \\ t \neq 0}}^{\infty} (-1)^{\nu_t} \times$$

$$\times \sum_{\kappa=1}^{\infty} \Gamma_{\kappa_n}^{\nu_t} \frac{\exp(-i\beta_{\kappa_n} l_t)}{\beta_{\kappa_n}} \sin^2(\pi x_0 \kappa/a);$$

$g = b - h$, где Γ_{κ_n} — коэффициент отражения волн типа H_{κ_n} от апертуры, J_{yn} — компонента Фурье плотности тока на штыре

$\beta_{\kappa_n} = \sqrt{\gamma_n^2 - (\pi \kappa/a)^2}$; $l_s = |s|a \pm 0,5(a - 2x_0) [1 - (-1)^s]$; $l_t = |t|l \pm \pm 0,5(l - 2l_0) [1 - (-1)^t]$; $\nu_t = 0,25 \{2|t| \pm [1 - (-1)^t]\}$; $\nu_{1t} = 0,25 \times \times \{2|t| \pm [1 + (-1)^t]\}$.

В выражениях для l_s , l_t , ν_t , ν_{1t} верхний знак для $s, t > 0$, нижний — для $s, t < 0$. Коэффициенты a_0 в (14) являются решением системы алгебраических уравнений:

$$\sum_{q=0}^{\infty} A_{tq} a_q = B_t, \quad t = 0, 1, 2, \dots, \infty,$$

где

$$A_{tq} = \frac{\pi}{2} \sum_{n=0}^{\infty} (-1)^{q+t} (2 - \delta_n) \left[\frac{J_1(\gamma_n d)}{J_0(\gamma_n d)} - \frac{S_{1n}(d)}{S_n(d)} \right] \times$$

$$\times J_{2q} \left(\frac{\pi n}{b} g \right) J_{2t} \left(\frac{\pi n}{b} g \right);$$

$$B_t = \frac{t}{\ln(D/d)} \sum_{n=0}^{\infty} (-1)^{n+t} \frac{1}{\gamma_n} \left[\frac{S_n(D)}{S_n(d)} - 1 \right] J_{2t} \left(\frac{\pi n}{b} g \right).$$

В приведенных соотношениях J_n , $H_n^{(2)}$ — функции Бесселя и Ханкеля второго рода.

На основании полученных выражений составлена программа для расчета на языке Фортран-IV. С помощью этой программы расчи-

тано входное сопротивление $z_{вх} = 1/Y_{вх}$ со стороны коаксиальной линии передачи для короткозамкнутого штыря и штыря высотой 56 мм. Размеры резонатора $a \times b \times L = 265 \times 65 \times 300$ мм, диаметр штыря $2d = 4,6$ мм, большой диаметр возбуждающей кольцевой щели $2D = 16$ мм, смещение оси штыря от боковой стенки $x_0 = 132,5$ мм, от короткозамкнутой стенки $l_0 = 150$ мм. На рис. 3 представлены результаты расчетов в виде сплошных кривых и экспериментальные результаты. Совпадение теоретических и экспериментальных результатов вполне удовлетворительное. Проводимость апертуры РЩА, необходимая при расчете коэффициента отражения от апертуры, опреде-

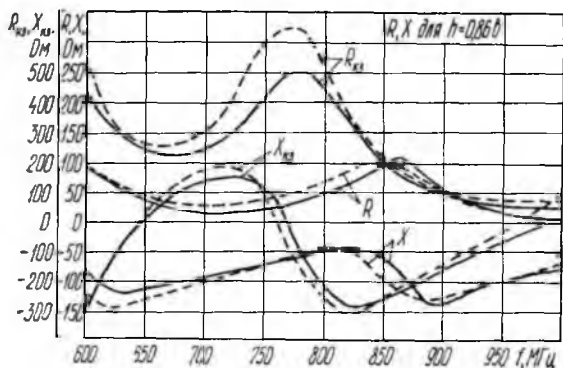


Рис. 3

лялась в соответствии с выражениями, приведенными в работе [6] для однодогового приближения.

Нами экспериментально проверено предположение о близости входного сопротивления сплошного и полого штырей, если диаметры их малы по сравнению с длиной волны. В таблице приведены измеренные значения входного сопротивления РЩА со сплошным и полым штырями и дано сравнение их с расчетными данными. Диаметр штыря $2d = 8,7$ мм (это составляет 0,23 от средней длины волны рассматриваемого диапазона), большой диаметр возбуждающей кольцевой щели $2D = 20$ мм, $h = 56$ мм, остальные размеры аналогичны приведенным. Из анализа данных (таблица) следует, что различия во входном сопротивлении сплошного и полого штырей находятся в пределах погрешности измерений.

| f, МГц | Полый/сплошной штырь | | f, МГц | Полый/сплошной штырь | |
|--------|----------------------|-----------|--------|----------------------|-----------|
| | R, Ом | X, Ом | | R, Ом | X, Ом |
| 600 | 95/95 | -80/-85 | 850 | 125/130 | -60/-70 |
| 650 | 53/50 | -109/-104 | 900 | 57/59 | -108/-110 |
| 700 | 31/32 | -70/-68 | 950 | 16/20 | -83/-83 |
| 750 | 46/47 | -49/-47 | 1000 | 11/11 | -64/-64 |
| 800 | 79/80 | -24/-19 | — | — | — |

В заключение следует отметить, что по выражению (13) для $Y_{вх}$ можно также рассчитать проводимость РЩА, если: штырь закорочен и возбуждается коаксиальной линией либо δ -источником; штырь с зазором при возбуждении δ -источником.

Выражение для полного поля вблизи поверхности штыря с зазором дает возможность оценить разрядоустойчивость РЩА данного типа, так как появляется возможность определить непосредственно мощность пробоя.

Список литературы: 1. Ильинский А. С., Гринев А. Ю., Котов Ю. В. Исследование электродинамических характеристик резонаторно-щелевого излучателя с источником возбуждения в плоскости щели // Радиотехника и электрон.— 1978.— 23, № 5.— С. 922—930. 2. Техника сверхвысоких частот : Пер. с англ.; Под ред. Я. Н. Фельда.— М. : Сов. радио, 1952.— Т. 1.— 475 с. 3. Williamson A. G., Otto D. V. Cylindrical antenna in a rectangular waveguide driven from a coaxial line // Electronics Letters.— 1972.— 8, N 22.— P. 545—547. 4. Williamson A. G., Otto D. V. Coaxially fed hollow cylindrical monopole in a rectangular waveguide // Electronics Letters.— 1973.— 9, N 10.— P. 218—220. 5. Бугаев В. Я., Рапопорт Г. Н. Эквивалентная схема волноводно-коаксиального Т-соединения // Изв. вузов. Радиоэлектроника.— 1977.— 20, № 2.— С. 95—100. 6. Левин Л. Современная теория волноводов : Пер. с англ.; Под ред. Э. Л. Бурштейна.— М. : Иностран. лит., 1954.— 215 с.

Поступила в редколлегию 12.11.86